

# Mapping class grupos de superficies no orientables

LUIS PARIS

## Abstract

Notas de un curso de 6 horas dado en Oaxaca en junio del 2019.

## 1 Definición de mapping class grupo

**Definición.** Sea  $M$  una superficie.  $M$  es compacta pero no necesariamente conexa y puede ser orientada o no y tener borde. Consideramos una reunión  $B$  de componentes de  $\partial M$ . Denotamos  $\text{Homeo}(M, B)$  el grupo de homeomorfismos  $h : M \rightarrow M$  que son la identidad en  $B$ . El grupo  $\text{Homeo}(M, B)$  viene dotado con la *topología compacto-abierta*. Recordemos que esta topología se define como sigue. Sean  $K$  un compacto y  $U$  un abierto de  $M$ . Ponemos  $\Delta(K, U) = \{h \in \text{Homeo}(M, B) \mid h(K) \subset U\}$ . Entonces el conjunto de los  $\Delta(K, U)$  forma una base de abiertos para la topología de  $\text{Homeo}(M, B)$ .

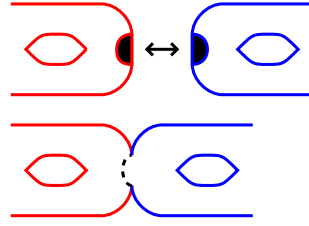
**Teorema.** *El grupo  $\text{Homeo}(M, B)$  es localmente conexo por arcos.*

**Definición.** Se dice que dos homeomorfismos  $f, g \in \text{Homeo}(M, B)$  son *isotopos* si están en la misma componente conexa de  $\text{Homeo}(M, B)$ . Denotamos  $\text{Homeo}_0(M, B)$  la componente conexa de  $\text{Homeo}(M, B)$  que contiene la identidad. El *mapping class grupo* de  $M$  relativamente a  $B$  es el grupo cociente  $\mathcal{M}(M, B) = \text{Homeo}(M, B) / \text{Homeo}_0(M, B)$ . En otras palabras,  $\mathcal{M}(M, B)$  es el grupo formado por las clases de isotopía de los elementos de  $\text{Homeo}(M, B)$ . Es un grupo discreto.

**Nota.** Si  $M$  es orientable, denotamos  $\text{Homeo}^+(M, B)$  el subgrupo de  $\text{Homeo}(M, B)$  formado por los elementos  $f \in \text{Homeo}(M, B)$  que preservan la orientación, y denotamos por  $\mathcal{M}^+(M, B)$  el subgrupo de  $\mathcal{M}(M, B)$  formado por las clases de isotopía de elementos de  $\text{Homeo}^+(M, B)$ . Si  $B = \emptyset$ , entonces  $\mathcal{M}^+(M, B)$  es un subgrupo de índice dos de  $\mathcal{M}(M, B)$ , y si  $B \neq \emptyset$ , entonces  $\mathcal{M}^+(M, B) = \mathcal{M}(M, B)$ . En general, en la literatura, es  $\mathcal{M}^+(M, B)$  que se llama mapping class grupo, y  $\mathcal{M}(M, B)$  se llama mapping class grupo extendido.

## 2 Representación gráfica de las superficies

**Definición.** Sean  $M_1$  y  $M_2$  dos superficies. Tomamos dos discos cerrados  $D_1$  encajado en  $M_1$  y  $D_2$  encajado en  $M_2$ . Denotamos  $D_1^o$  (resp.  $D_2^o$ ) el interior de  $D_1$  (resp.  $D_2$ ) y  $\partial D_1$  (resp.  $\partial D_2$ ) su borde. Sean  $M'_1 = M_1 \setminus D_1^o$  y  $M'_2 = M_2 \setminus D_2^o$ . Denotamos  $M = M_1 \# M_2$  la superficie obtenida a partir de  $M'_1$  y  $M'_2$  identificando  $\partial D_1$  y  $\partial D_2$ . Esta superficie se llama la *suma conexa* de  $M_1$  y  $M_2$ .



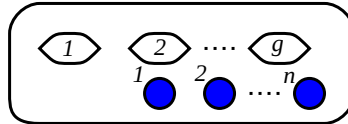
**Figura 1.** Suma conexa de dos superficies

**Teorema.**

- (1) Sea  $M$  una superficie compacta, conexa, orientable y sin borde. O  $M$  es una esfera, o existe  $g \geq 1$  tal que  $M$  es la suma conexa de  $g$  toros.
- (2) Sea  $M$  una superficie compacta, conexa, orientable, y con  $n$  componentes de borde,  $n \geq 1$ . Existe una superficie  $\bar{M}$  compacta, conexa, orientable y sin borde, y  $n$  discos  $D_1, \dots, D_n$  encajados en  $\bar{M}$  tales que  $M = \bar{M} \setminus \cup_{i=1}^n D_i^o$ .

**Definición.** Sea  $M$  una superficie compacta, conexa, orientable y sin borde. Se dice que  $M$  es de *genero 0* si  $M$  es una esfera y que  $M$  es de *genero  $g$*  si  $M$  es la suma conexa de  $g$  toros. Sea  $M$  una superficie compacta, conexa, orientable y con borde. Sea  $\bar{M}$  la superficie sin borde tal que  $M = \bar{M} \setminus \cup_{i=1}^n D_i^o$ . Entonces el *genero* de  $M$  es el genero de  $\bar{M}$ .

**Representación gráfica.** Se representa una superficie orientable de genero  $g$  con  $n$  componentes de borde como el la figura siguiente.



**Figura 2.** Superficie de genero  $g$  con  $n$  componentes de borde

**Definición.** Recordar que la esfera estándar es  $\mathbb{S}^2 = \{x \in \mathbb{R}^3 \mid \|x\| = 1\}$ . El *plano proyectivo* es  $\mathbb{P}^2 = \mathbb{S}^2 / \sim$ , donde  $\sim$  es la relación de equivalencia definida por

$$x \sim y \iff y = \pm x.$$

Note que  $\mathbb{P}^2$  es una superficie no orientable.

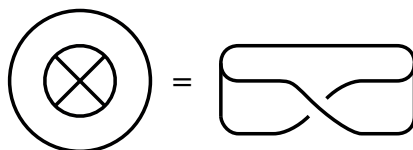
**Teorema.**

- (1) Sea  $M$  una superficie compacta, conexa, no orientable y sin borde. Entonces existe  $g \geq 1$  tal que  $M$  es la suma conexa de  $g$  planos proyectivos.
- (2) Sea  $M$  una superficie compacta, conexa, no orientable, y con borde. Entonces existe una superficie compacta, conexa, no orientable y sin borde,  $\bar{M}$ , y discos  $D_1, \dots, D_n$  encajados en  $\bar{M}$  y dos a dos disjuntos, tales que  $M = \bar{M} \setminus \cup_{i=1}^n D_i^o$ .

**Definición.** Sea  $M$  una superficie compacta, conexa, no orientable y sin borde. Se dice que  $M$  es de *genero*  $g$  si  $M$  es la suma conexa de  $g$  planos proyectivos. Sea  $M$  una superficie compacta, conexa, no orientable y con borde. Sea  $\bar{M}$  la superficie no orientable sin borde tal que  $M = \bar{M} \setminus \cup_{i=1}^n D_i^o$ . Entonces el *genero* de  $M$  es igual al genero de  $\bar{M}$ .

**Pregunta.** ¿Como se dibuja una superficie no orientable?

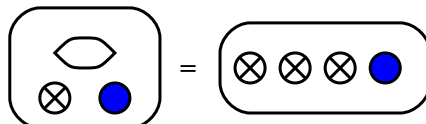
**Definición.** Un *crosscap* es una representación grafica de la banda de Moebius como en la figura 3, donde se identifica dos puntos antipodales en el círculo con la cruz en el interior.



**Figura 3.** Crosscap

**Representación gráfica.** Sea  $N$  una superficie conexa no orientable de genero  $g$  con  $n$  componentes de borde. Se representa gráficamente  $N$  como sigue. Sea  $M$  una superficie conexa orientable de genero  $g_1$  con  $g_2 + n$  componentes de borde, donde  $2g_1 + g_2 = g$ . Pegando crosscaps a  $g_2$  componentes de borde de  $M$  se obtiene una representación de  $N$  (ver la figura 4).

**Ejemplo.** En la figura 4 que sigue hay dos representaciones diferentes de una superficie no orientable de genero 3 con 1 componente de borde.



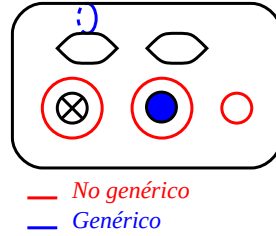
**Figura 4.** Superficie no orientable de genero 3 con una componente de borde

### 3 Arcos y círculos

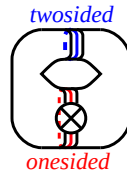
**Definición.** Sean  $X, Y$  dos espacios topológicos y  $f_0, f_1 : Y \rightarrow X$  dos encajes. Se dice que  $f_0$  y  $f_1$  son *homotópicos* si existe una aplicación continua  $F : Y \times [0, 1] \rightarrow X$  tal que  $f(y, 0) = f_0(y)$  y  $F(y, 1) = f_1(y)$  para todo  $y \in Y$ . Se dice que  $f_0$  y  $f_1$  son *isotópicos* si, además, para todo  $t \in [0, 1]$  la aplicación  $f_t : Y \rightarrow X$ ,  $y \mapsto F(y, t)$ , es un encaje. Se dice que  $f_0$  y  $f_1$  son *ambiente isotópicas* si existe una aplicación continua  $G : X \times [0, 1] \rightarrow X$  tal que  $g_0 = \text{id}$ ,  $g_1 \circ f_0 = f_1$ , y  $g_t$  es un homeomorfismo para todo  $t \in [0, 1]$ , donde  $g_t : X \rightarrow X$ ,  $x \mapsto G(x, t)$ .

**Definición.** Un *círculo* en  $M$  es un encaje  $a : \mathbb{S}^1 \hookrightarrow M \setminus \partial M$ . Supondremos (en general) que los círculos no están orientados. Mediante abuso de notación identificaremos con frecuencia un círculo con su imagen. Se dice que  $a$  es *genérico* si no borda un disco o una banda de Moebius y si no es isotópico a una componente de borde de  $M$  (ver la figura 5). Un entorno regular de  $a$

puede ser o un anillo, o una banda de Moebius (ver la figura 6). En el primer caso se dice que  $a$  es *twosided* y en el segundo caso se dice que  $a$  es *onesided*.



**Figura 5.** Círculos genéricos y no genéricos



**Figura 6.** Círculos onesided y twosided

**Definición.** Un *arco* en  $M$  es un encaje  $a : [0, 1] \hookrightarrow M$  tal que  $a(0), a(1) \in \partial M$  y  $a(]0, 1[) \subset M \setminus \partial M$ .

**Definición.** Sean  $a$  y  $b$  dos círculos en  $M$  (resp. dos arcos en  $M$ ). Se dice que  $a$  y  $b$  *bordan un bigono* si existe un disco encajado en  $M$  cuyo borde está formado por un arco de  $a$  y un arco de  $b$  (ver la figura 7).



**Figura 7.** Bigono

**Teorema** ([Epstein]).

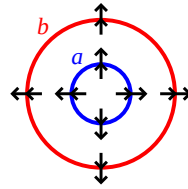
- (1) Sean  $a$  y  $b$  dos círculos homotópicos en  $M$ . Si  $a \cap b \neq \emptyset$ , entonces  $a$  y  $b$  bordan un bigono. Si  $a \cap b = \emptyset$ , entonces existe un anillo  $A$  encajado en  $M$  cuyas componentes de borde son  $a$  y  $b$ .
- (2) Sean  $a$  y  $b$  dos arcos con los mismos extremos y homotópicos relativamente a los extremos. Entonces  $a$  y  $b$  bordan un bigono.

**Corolario.**

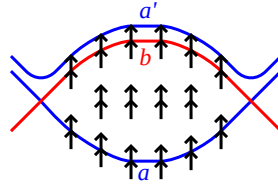
- (1) Sean  $a$  y  $b$  dos círculos en  $M$ . Entonces  $a$  y  $b$  son homotópicos si y solamente si son ambiente isotópicos con una isotopía que deja el borde de  $M$  fijo punto por punto.

- (2) Sean  $a$  y  $b$  dos arcos en  $M$  con los mismos extremos. Entonces  $a$  y  $b$  son homotopicos si y solamente si son ambiente isotopicos con una isotopía que deja el borde de  $M$  fijo punto por punto.

**Demostración.** Sean  $a$  y  $b$  dos círculos homotopicos. Sin descartar la posibilidad de aplicar una pequeña isotopía ambiente, podemos suponer que  $a$  y  $b$  se interceptan en un numero finito de puntos. Razonaremos por inducción sobre  $|a \cap b|$ . Supongamos que  $|a \cap b| = 0$ , es decir,  $a \cap b = \emptyset$ . Entonces existe un anillo  $A$  encajado en  $M$  cuyas componentes de borde son  $a$  y  $b$  (ver la figura 8). Se observa entonces que se puede empujar  $a$  sobre  $b$  a lo largo del anillo  $A$  con una isotopía ambiente. Supongamos que  $|a \cap b| > 0$  (i.e.  $a \cap b \neq \emptyset$ ) mas la hipótesis de inducción. Entonces  $a$  y  $b$  bordean un bigono  $D$  (ver la figura 9). Empujando  $a$  a lo largo de  $D$  se observa que  $a$  es ambiente isotopica a un círculo  $a'$  tal que  $|a' \cap b| < |a \cap b|$ . De la hipótesis de inducción sale que  $a'$  es ambiente isotopica a  $b$ , por lo tanto  $a$  es ambiente isotopica a  $b$ . La segunda parte del corolario se demuestra de la misma manera.  $\square$



**Figura 8.** Isotopía a lo largo de un anillo



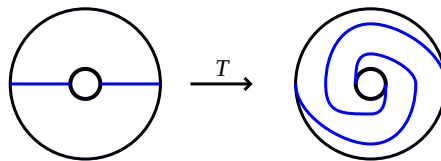
**Figura 9.** Isotopía a lo largo de un bigono

## 4 Algunos elementos del mapping class grupo

**Definición.** Recordemos que el *cilindro* o *anillo* es la superficie  $C = \mathbb{S}^1 \times [0, 1]$ . El *twist de Dehn estándar* es el homeomorfismo  $T : C \rightarrow C$  definido por

$$T(z, t) = (e^{2i\pi t} z, t).$$

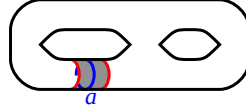
Se llama también *twist de Dehn estándar* la clase  $t \in \mathcal{M}(C, \partial C)$  de  $T$ .



**Figura 10.** Twist de Dehn estándar

**Definición.** Sean  $M$  una superficie y  $a : \mathbb{S}^1 \hookrightarrow M$  un círculo twosided. Un *entorno tubular* de  $a$  es un encaje  $\varphi : C \hookrightarrow M$  del anillo  $C = \mathbb{S}^1 \times [0, 1]$  tal que

- $\varphi(C) \cap \partial M = \emptyset$ ,
- $\varphi(z, \frac{1}{2}) = a(z)$  para todo  $z \in \mathbb{S}^1$ .

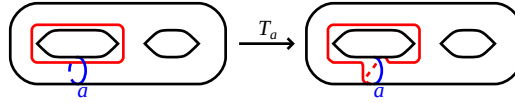


**Figura 11.** Entorno tubular

**Definición.** Sean  $M$  una superficie,  $B$  una unión de componentes de borde de  $M$ , y  $a : \mathbb{S}^1 \hookrightarrow M$  un círculo twosided. Tomamos un entorno tubular  $\varphi : C \hookrightarrow M$  de  $a$  y definimos  $T_a \in \text{Homeo}(M, B)$  como sigue:

- $T_a(x) = \varphi \circ T \circ \varphi^{-1}(x)$  si  $x$  está en la imagen de  $\varphi$ , donde  $T$  es el twist de Dehn estándar,
- $T_a(x) = x$  si  $x$  no está en la imagen de  $\varphi$ .

La clase de isotopía  $t_a \in \mathcal{M}(M, B)$  de  $T_a$  se llama el *twist de Dehn* a lo largo de  $a$ .



**Figura 12.** Twist de Dehn

**Proposición.** Sean  $M$  una superficie y  $B$  una unión de componentes de borde de  $M$ .

- (1) Sea  $a$  un círculo twosided. La definición de  $t_a$  no depende de la elección del entorno tubular de  $a$ . Tampoco depende de la orientación de  $a$ , pero depende de la orientación del entorno tubular.
- (2) Si  $a$  y  $b$  son dos círculos twosided isotópicos, entonces  $t_a = t_b$ .
- (3) Sean  $a$  un círculo twosided y  $f \in \mathcal{M}(M, B)$ . Entonces  $ft_af^{-1} = t_{f(a)}$ .

**Proposición.** Sean  $M$  una superficie,  $B$  una unión de componentes de borde de  $M$ , y  $a : \mathbb{S}^1 \hookrightarrow M$  un círculo twosided. Si  $a$  borda un disco o una banda Moebius o si  $a$  es isotópico a una componente de borde de  $M$  no incluida en  $B$ , entonces  $t_a = 1$ . Sino  $t_a$  es de orden infinito.

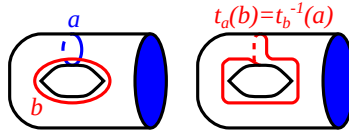
**Proposición.** Sean  $M$  una superficie,  $B$  una unión de componentes de borde de  $M$ , y  $a, b : \mathbb{S}^1 \hookrightarrow M$  dos círculos twosided.

- (1) Si  $a \cap b = \emptyset$ , entonces  $t_a t_b = t_b t_a$ .
- (2) Supongamos que  $a \cap b$  está formado de un punto único y la orientación de los entornos tubulares de  $a$  y  $b$  coinciden en un entorno del punto de intersección. Entonces  $t_a t_b t_a = t_b t_a t_b$ .

**Demostración.** Claramente, si  $a \cap b = \emptyset$ , entonces  $t_a t_b = t_b t_a$ . Demostremos la segunda parte. Suponemos que  $a \cap b$  es un punto único. Tenemos

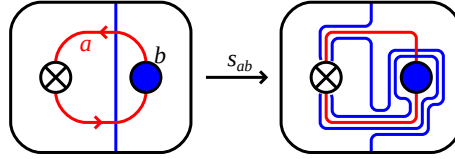
$$t_a t_b t_a = t_b t_a t_b \Leftrightarrow t_b^{-1} t_a t_b = t_a t_b t_a^{-1} \Leftrightarrow t_{t_b^{-1}(a)} = t_{t_a(b)}.$$

Por lo tanto, para demostrar que  $t_a t_b t_a = t_b t_a t_b$  basta demostrar que  $t_b^{-1}(a)$  es isotópico a  $t_a(b)$ . Un entorno regular de  $a \cup b$  es un toro con un agujero y  $t_a(b) \simeq t_b^{-1}(a)$  es el círculo representado en la figura 13.  $\square$



**Figura 13.** Relación de trenza

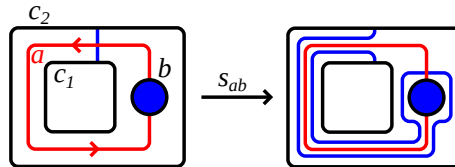
**Definición.** Sean  $M$  una superficie,  $B$  una unión de componentes de borde de  $M$ ,  $b$  una componente de borde de  $M$ , y  $a : [0, 1] \rightarrow M$  un arco. Suponemos que  $b \not\subset B$  y  $a(0), a(1) \in b$ . Denotamos  $s_{a,b}$  el elemento en  $\mathcal{M}(M, B)$  que se obtiene deslizando  $b$  a lo largo de  $a$ . Este elemento  $s_{a,b}$  se llama el *boundary slide* de  $b$  a lo largo de  $a$ .



**Figura 14.** Boundary slide

**Lema.** Sean  $b$  una componente de borde de  $M$ ,  $a : [0, 1] \rightarrow M$  un arco tal que  $a(0), a(1) \in b$ , y  $\Sigma$  un entorno regular de  $a \cup b$ .

- (1) O bien  $\Sigma$  es una superficie no orientable de genero 1 con dos componentes de borde, o bien  $\Sigma$  es una superficie orientable de genero 0 con tres componentes de borde.
- (2) Supongamos que  $\Sigma$  es una superficie de genero 0 con tres componentes de borde. Sean  $c_1$  y  $c_2$  las dos componentes de borde de  $\Sigma$  diferentes de  $b$ . Entonces  $s_{a,b} = t_{c_1}^{-1} t_{c_2}$ .
- (3) Supongamos que  $\Sigma$  es una superficie no orientable de genero 1 con dos componentes de borde. Sea  $c$  la componente de borde de  $\Sigma$  diferente de  $b$ . Entonces  $s_{a,b}^2 = t_c$ .



**Figura 15.** Boundary slide

**Definición.** Sean  $M$  una superficie y  $B$  una unión de componentes de borde de  $M$ . Sean  $b$  un círculo de  $M$  que borda una banda de Moebius y  $a$  un círculo (orientado) tal que  $|a \cap b| = 1$ . Denotamos  $y_{a,b}$  el elemento de  $\mathcal{M}(M, B)$  que se obtiene deslizando  $b$  a lo largo de  $a$ . Este elemento  $y_{a,b}$  se llama el *crosscap slide* de  $b$  a lo largo de  $a$ .

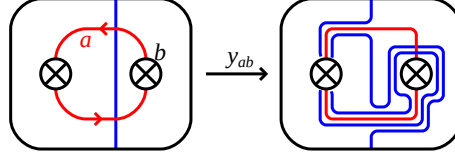


Figura 16. Crosscap slide

**Lema.** Sean  $b$  un círculo de  $M$  que borda una banda de Moebius  $R$  y  $a$  un círculo (orientado) tal que  $|a \cap b| = 1$ . Sea  $\Sigma$  un entorno regular de  $a \cup R$ .

- (1) Si  $a$  es twosided, entonces  $\Sigma$  es una superficie no orientable de genero 2 con una componente de borde. Si  $a$  es onesided, entonces  $\Sigma$  es una superficie no orientable de genero 1 con dos componentes de borde.
- (2) Supongamos que  $a$  es onesided. Sean  $c_1, c_2$  las componentes de borde de  $\Sigma$ . Entonces  $y_{a,b} = t_{c_1}^{-1} t_{c_2}$ .
- (3) Supongamos que  $a$  es twosided. Sea  $c$  la componente de borde de  $\Sigma$ . Entonces  $y_{a,c}^2 = t_c$ .

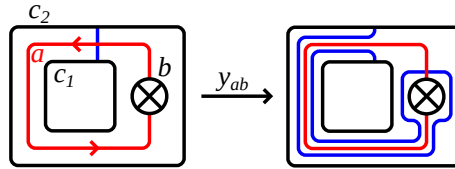


Figura 17. Crosscap slide

## 5 Primeros ejemplos de mapping class grupos

**Proposición.** Sea  $\mathbb{D} = \{z \in \mathbb{C} \mid |z| \leq 1\}$  el disco estándar. Entonces  $\mathcal{M}(\mathbb{D}, \partial\mathbb{D}) = \{1\}$ .

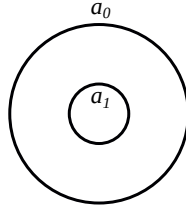
**Demostración.** Tenemos que mostrar que  $\text{Homeo}(\mathbb{D}, \partial\mathbb{D})$  es conexo. Sea  $h : \mathbb{D} \rightarrow \mathbb{D}$  un homeomorfismo de  $\mathbb{D}$  cuya restricción al borde de  $\mathbb{D}$  es la identidad. Para todo  $t \in [0, 1]$  definimos  $h_t \in \text{Homeo}(\mathbb{D}, \partial\mathbb{D})$  por

$$h_t(z) = \begin{cases} z & \text{si } |z| \geq 1 - t, \\ h(\frac{1}{t}z) & \text{si } |z| < 1 - t. \end{cases}$$

Claramente,  $\{h_t\}_{t \in [0,1]}$  es un camino en  $\text{Homeo}(\mathbb{D}, \partial\mathbb{D})$  que conecta  $h$  con la identidad. □

**Proposición.** Denotamos  $C = \mathbb{S}^1 \times [0, 1]$  el cilindro y  $a_0 = \mathbb{S}^1 \times \{0\}$ ,  $a_1 = \mathbb{S}^1 \times \{1\}$  las componentes de borde de  $\mathbb{S}^1$ . Entonces  $\mathcal{M}(C, a_0) = \{1\}$ .

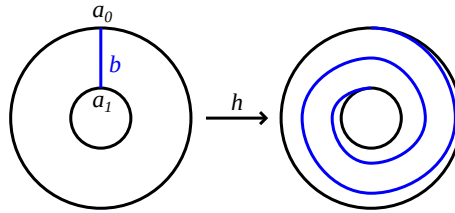




**Figura 18.** Un cilindro

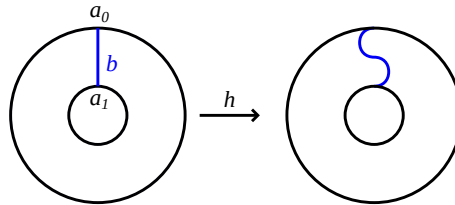
**Demostración.** Tenemos que mostrar que  $\text{Homeo}(C, a_0)$  es conexo. Sea  $h \in \text{Homeo}(C, a_0)$ . La restricción de  $h^{-1}$  a  $a_1$  es un homeomorfismo  $g' : a_1 \rightarrow a_1$  que preserva la orientación. Un tal homeomorfismo es isotópico a la identidad, es decir, existe una familia continua  $g'_t : a_1 \rightarrow a_1$  de homeomorfismos tal que  $g'_1 = g'$  y  $g'_0 = \text{id}$ . Se puede prolongar esta isotopía a una isotopía  $g_t : C \rightarrow C$  tal que  $g_0 = \text{id}$  y la restricción de  $g_t$  a  $a_0$  es la identidad. Ponemos  $h_t = g_t \circ h$ . Entonces  $h_0 = h$ , la restricción de  $h_t$  a  $a_0$  es la identidad, y la restricción de  $h_1$  a  $a_0 \sqcup a_1$  es la identidad. Por lo tanto, podemos suponer que la restricción de  $h$  a  $a_0 \sqcup a_1$  es la identidad.

Consideremos el arco  $b$  de la figura 19. Usando “rotaciones” se puede construir una isotopía  $g_t : C \rightarrow C$  tal que  $g_0 = \text{id}$ , la restricción de  $g_t$  a  $a_0$  es la identidad, y  $g_1(b)$  es homotópico a  $h^{-1}(b)$ . Ponemos  $h_t = g_t \circ h$ . Entonces  $h_0 = h$ , la restricción de  $h_t$  a  $a_0$  es la identidad, la restricción de  $h_1$  a  $a_0 \sqcup a_1$  es la identidad, y  $h_1(b)$  es homotópico a  $b$ .



**Figura 19.** Mapping class grupo del cilindro

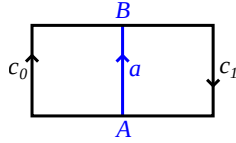
Por consiguiente, podemos suponer que  $h(b)$  es homotópico a  $b$  (ver la figura 20). Existe una isotopía  $g_t : C \rightarrow C$  tal que  $g_0 = \text{id}$ , la restricción de  $g_t$  a  $a_0 \sqcup a_1$  es la identidad, y  $g_1(b) = h^{-1}(b)$ . Ponemos  $h_t = g_t \circ h$ . Entonces  $h_0 = h$ , la restricción de  $h_t$  a  $a_0$  es la identidad, y la restricción de  $h_1$  a  $a_0 \cup a_1 \cup b$  es la identidad. Como  $\mathcal{M}(\mathbb{D}, \partial\mathbb{D}) = \{1\}$ , concluimos que  $h_1$  es isotópico a la identidad con una isotopía que fija  $a_0 \cup a_1 \cup b$  punto por punto.  $\square$



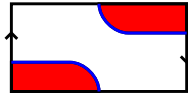
**Figura 20.** Mapping class grupo de un cilindro

**Proposición.** Sea  $N$  la banda de Moebius. Entonces  $\mathcal{M}(N, \partial N) = \{1\}$ .

**Demostración.** Tomamos un homeomorfismo  $h \in \text{Homeo}(N, \partial N)$  y demostramos que  $h$  es isotopico a la identidad. Representamos la banda de Moebius como en la figura 21, donde identificamos  $c_0$  y  $c_1$ . Consideramos el arco  $a$  dibujado en la figura y ponemos  $b = h(a)$ . Observemos que  $a$  no separa  $N$  en dos componentes conexas, por lo tanto  $b$  tampoco separa  $N$  en dos componentes conexas. Un ejemplo de un arco con los mismos extremos que  $a$  que separa  $N$  en dos componentes conexas es dado en la figura 22.

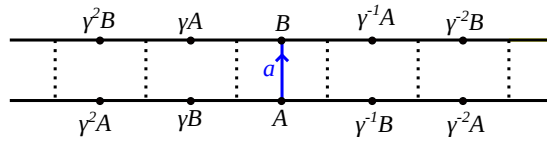


**Figura 21.** Banda de Moebius



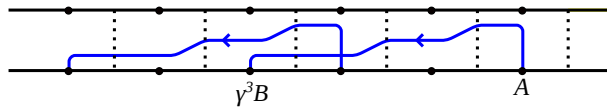
**Figura 22.** Arco que separa  $N$

Sea  $\tilde{N} \rightarrow N$  la cubierta universal de  $N$  y  $\gamma : \tilde{N} \rightarrow \tilde{N}$  el generador del grupo de deck de la cubierta (ver la figura 23). Denotemos  $A$  el origen de  $a$  y  $B$  su destino. Elijemos un levantamiento  $\tilde{A}$  de  $A$ , denotamos  $\tilde{a}$  el levantamiento de  $a$  de origen  $\tilde{A}$ , y denotamos  $\tilde{B}$  el destino de  $\tilde{a}$ . Sea  $\tilde{b}$  el levantamiento de  $b$  de origen  $\tilde{A}$ . Existe  $m \in \mathbb{Z}$  tal que el destino de  $\tilde{b}$  es  $\gamma^m \tilde{B}$ .



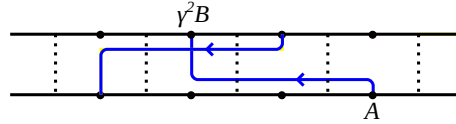
**Figura 23.** Cubierta universal de  $N$

Si  $m$  fuese impar con  $m \geq 3$ , entonces  $\tilde{b}$  y  $\gamma^2 \tilde{b}$  se interceptarían (ver la figura 24), y eso no es posible. Asimismo, uno no puede tener  $m$  impar y  $m \leq -3$ .



**Figura 24.**

Si  $m = 1$  o  $-1$ , entonces  $b$  separa  $N$  en dos componentes conexas, lo que no puede ser. Si  $m$  fuese par con  $m \geq 2$ , entonces  $\tilde{b}$  y  $\gamma\tilde{b}$  se interceptarían (ver la figura 25), y eso no es posible. Asimismo, uno no puede tener  $m$  par con  $m \leq -2$ .



**Figura 25.**

En conclusión, tenemos  $m = 0$ , por lo tanto  $b$  es homotópico a  $a$ , así que existe una ambiente isotopía que fija el borde de  $N$  punto por punto y mueve  $b$  sobre  $a$ . Por consiguiente, podemos suponer que  $h$  es la identidad sobre  $a \cup \partial N$ . Como  $\mathcal{M}(\mathbb{D}, \partial\mathbb{D}) = \{1\}$ , existe una isotopía  $h_t : N \rightarrow N$  tal que  $h_0 = h$ ,  $h_1 = \text{id}$ , y  $h_t$  es la identidad sobre  $a \cup \partial N$ .  $\square$

**Definición (Recuerdo).** El cilindro es la superficie  $C = \mathbb{S}^1 \times [0, 1]$ . El *twist de Dehn estándar* es el homeomorfismo  $T : C \rightarrow C$  definido por

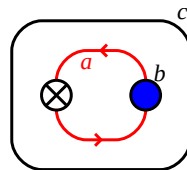
$$T(z, t) = (e^{2i\pi t} z, t).$$

Recordemos que también llamamos *twist de Dehn estándar* a la clase  $t \in \mathcal{M}(C, \partial C)$  de  $T$ .

**Proposición.** Sean  $C$  el cilindro y  $t \in \mathcal{M}(C, \partial C)$  el twist de Dehn estándar. Entonces  $\mathcal{M}(C, \partial C)$  es un grupo cíclico infinito generado por  $t$ .

**Demostración.** Ejercicio.  $\square$

**Proposición (Korkmaz).** Supongamos que  $N = N_{1,2}$  es una banda de Moebius con un agujero. Fijamos una componente de borde  $c$  de  $N_{1,2}$  y denotamos  $b$  la otra componente de borde. Sea  $s_{a,b} \in \mathcal{M}(N_{1,2}, c)$  el boundary slide de  $b$  a lo largo del arco  $a$  representado en la figura 26. Entonces  $\mathcal{M}(N_{1,2}, c)$  es el grupo cíclico infinito generado por  $s_{a,b}$ .

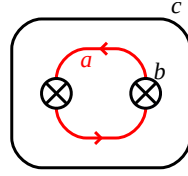


**Figura 26.** Banda de Moebius con un agujero

**Teorema.** Sean  $M$  la botella de Klein con un agujero y  $c$  su componente de borde. Sean  $a$  y  $b$  los círculos dibujados en la figura 27.

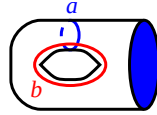
- (1) El círculo  $a$  es el único círculo twosided genérico de  $M$  salvo isotopía.
- (2) Sea  $y_{a,b}$  el crosscap slide de  $b$  a lo largo de  $a$ . Entonces  $y_{a,b}^2 = t_c$  y  $y_{a,b} t_a y_{a,b}^{-1} = t_a^{-1}$ .

(3)  $\mathcal{M}(M, c) \simeq \mathbb{Z} \rtimes \mathbb{Z}$ , donde la primera copia de  $\mathbb{Z}$  esta generada por  $t_a$  y la segunda copia esta generada por  $y_{a,b}$ .



**Figura 27.** Botella de Klein con un agujero

**Teorema.** Sean  $M$  el toro con un agujero y  $a, b$  dos círculos en  $M$  tales que  $i(a, b) = 1$ . Entonces  $\mathcal{M}(M, \partial M) = \langle t_a, t_b \mid t_a t_b t_a = t_b t_a t_b \rangle$ . Es el grupo de trenzas de tres cuerdas.



**Figura 28.** Toro con un agujero

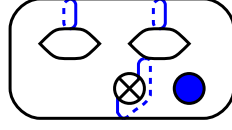
## 6 Complejo de curvas y clasificación de los elementos de $\mathcal{M}(M)$

**Definición.** Un *complejo simplicial* es un conjunto  $E$  dotado de una familia  $\mathcal{S}$  de subconjuntos tales que

- (a)  $S$  es finito y no vacío para todo  $S \in \mathcal{S}$ ,
- (b) Si  $S \in \mathcal{S}$ , entonces cualquier parte no vacía de  $S$  pertenece a  $\mathcal{S}$ ,
- (c) Tenemos  $\{x\} \in \mathcal{S}$  para todo  $x \in E$ .

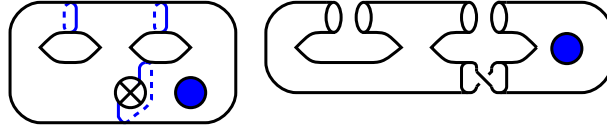
Los elementos de  $E$  se llaman *vertices* del complejo simplicial y los elementos de  $\mathcal{S}$  se llaman *simplices*. La *dimensión* de un simplex  $S \in \mathcal{S}$  es  $|S| - 1$ .

**Definición.** A partir de ahora suponemos que  $M$  es una superficie compacta (no necesariamente conexa). Denotamos  $\hat{\mathcal{C}}(M)$  el conjunto de círculos en  $M$  que no bordean un disco y que no son isotopicos a una componente de borde de  $M$ . Denotamos  $\mathcal{C}(M)$  el conjunto de las clases de isotopía de elementos de  $\hat{\mathcal{C}}(M)$ , y  $\mathcal{T}(M)$  el subconjunto formado por las clases de isotopía de círculos twosided. El *índice de intersección* de dos clases  $\alpha, \beta \in \mathcal{C}(M)$  es  $i(\alpha, \beta) = \min\{|a \cap b| \mid a \in \alpha \text{ y } b \in \beta\}$ . El conjunto  $\mathcal{C}(M)$  esta dotado de una estructura de complejo simplicial. Una parte no vacía  $\mathcal{A}$  de  $\mathcal{C}(M)$  es un simplex de  $\mathcal{C}(M)$  si  $i(\alpha, \beta) = 0$  para todo  $\alpha, \beta \in \mathcal{C}(M)$ ,  $\alpha \neq \beta$ . Este complejo simplicial se llama el *complejo de curvas* de  $M$ , y  $\mathcal{T}(M)$  es considerado como un subcomplejo de  $\mathcal{C}(M)$ . Si  $\mathcal{A}$  es un simplex de  $\mathcal{C}(M)$ , entonces existe un conjunto  $A$  de representantes de los elementos de  $\mathcal{A}$  tal que  $a \cap b = \emptyset$  para todo  $a, b \in A$ ,  $a \neq b$ . Un tal conjunto de representantes se llama *conjunto admisible de representantes* de  $\mathcal{A}$ . Note que  $\mathcal{M}(M)$  actúa sobre  $\mathcal{C}(M)$  y  $\mathcal{T}(M)$ , y son acciones simpliciales en el sentido que mandan un simplex sobre un simplex.



**Figura 29.** Simplex en  $\mathcal{C}(M)$

**Definición.** Sean  $\mathcal{A}$  un simplex de  $\mathcal{C}(M)$  y  $A$  un sistema admisible de representantes de  $\mathcal{A}$ . El *estabilizador* de  $\mathcal{A}$  en  $\mathcal{M}(M)$  es el subgrupo  $\mathcal{M}_{\mathcal{A}}(M) = \{f \in \mathcal{M}(M) \mid f(\mathcal{A}) = \mathcal{A}\}$  de  $\mathcal{M}(M)$ . Por otro lado, denotamos  $M_{\mathcal{A}}$  la compactificación natural de  $M \setminus (\cup_{a \in A} a)$  (ver la figura 30). Los grupos  $\mathcal{M}_{\mathcal{A}}(M)$  y  $\mathcal{M}(M_{\mathcal{A}})$  están vinculados con el homomorfismo  $\Lambda_{\mathcal{A}} : \mathcal{M}_{\mathcal{A}}(M) \rightarrow \mathcal{M}(M_{\mathcal{A}})$  que se define como sigue. Sea  $f \in \mathcal{M}_{\mathcal{A}}(M)$ . Elegimos un representante  $F \in \text{Homeo}(M)$  de  $f$  tal que  $F(\cup_{a \in A} a) = \cup_{a \in A} a$ . Entonces  $F$  determina un elemento  $\hat{F} \in \text{Homeo}(M_{\mathcal{A}})$ , y definimos  $\Lambda_{\mathcal{A}}(f)$  como la clase de  $\hat{F}$  en  $\mathcal{M}(M_{\mathcal{A}})$ . Este homomorfismo  $\Lambda_{\mathcal{A}} : \mathcal{M}_{\mathcal{A}}(M) \rightarrow \mathcal{M}(M_{\mathcal{A}})$  se llama *homomorfismo de reducción a lo largo de  $\mathcal{A}$* .



**Figura 30.** Superficie  $M_{\mathcal{A}}$

**Definición.** Si  $\mathcal{A}$  es un simplex de  $\mathcal{C}(M)$ , ponemos  $\mathcal{A}_{\mathcal{T}} = \mathcal{A} \cap \mathcal{T}(M)$  y denotamos  $Z_{\mathcal{A}}$  el subgrupo de  $\mathcal{M}(M)$  generado por  $\{t_{\alpha} \mid \alpha \in \mathcal{A}_{\mathcal{T}}\}$ .

**Teorema.** (Stukow). Sean  $\mathcal{A} \subset \mathcal{C}(M)$  un simplex y  $\Lambda : \mathcal{M}_{\mathcal{A}}(M) \rightarrow \mathcal{M}(M_{\mathcal{A}})$  el homomorfismo de reducción a lo largo de  $\mathcal{A}$ . Entonces el núcleo de  $\Lambda$  es  $Z_{\mathcal{A}}$ . Es un grupo abeliano libre libremente generado por  $\{t_{\alpha} \mid \alpha \in \mathcal{A}_{\mathcal{T}}\}$ . En particular, si  $\mathcal{A} \subset \mathcal{C}(M) \setminus \mathcal{T}(M)$ , entonces  $\Lambda$  es *inyectivo*.

**Definición.** Denotamos  $\Gamma(M) = \{M_i \mid i \in I\}$  el conjunto de componentes conexas de  $M$  y  $\mathfrak{S}(\Gamma(M))$  el grupo de permutaciones de  $\Gamma(M)$ . Hay un homomorfismo natural  $\varphi : \mathcal{M}(M) \rightarrow \mathfrak{S}(\Gamma(M))$  cuyo núcleo es naturalmente isomorfo a  $\oplus_{i \in I} \mathcal{M}(M_i)$ .

**Definición.** Se dice que un elemento  $f \in \mathcal{M}(M)$  es *pseudo-Anosov* si  $\mathcal{C}(M_i) \neq \emptyset$  para todo  $i \in I$  y  $f^n(\alpha) \neq \alpha$  para todo  $\alpha \in \mathcal{C}(M)$  y todo  $n \in \mathbb{Z} \setminus \{0\}$ . Se dice que un elemento  $f \in \mathcal{M}(M)$  es *reducible* si existe un simplex  $\mathcal{A} \subset \mathcal{C}(M)$  tal que  $f(\mathcal{A}) = \mathcal{A}$ . En este ultimo caso,  $\mathcal{A}$  se llama un *sistema de reducción* de  $f$  y un elemento  $\alpha \in \mathcal{A}$  se llama *clase de reducción* de  $f$ .

**Teorema** (Thurston ++ Folclore). Suponemos que  $M$  es conexa. Si  $f \in \mathcal{M}(M)$  es pseudo-Anosov, entonces el centralizador  $Z_f(\mathcal{M}(M)) = \{g \in \mathcal{M}(M) \mid gf = fg\}$  de  $f$  en  $\mathcal{M}(M)$  es *virtualmente cíclico*, e decir,  $Z_f(\mathcal{M}(M))$  contiene un subgrupo de índice finito isomorfo a  $\mathbb{Z}$ .

**Definición.** Sea  $f \in \mathcal{M}(M)$ . Elegimos  $n \geq 1$  tal que  $f^n \in \text{Ker}(\varphi)$ . Se dice que  $f$  está *correctamente reducido* si, para todo  $i \in I$ , la restricción de  $f^n$  a  $\mathcal{M}(M_i)$  es o de orden finito

o pseudo-Anosov. Se puede verificar sin muchas dificultades que esta definición no depende de la elección de  $n$ . Un sistema de reducción  $\mathcal{A}$  de  $f$  es un *sistema de reducción correcto* si la reducción de  $f$  a lo largo de  $\mathcal{A}$  esta correctamente reducida.

**Teorema** (Thurston ++ Folclore). *Sea  $M$  una superficie. Un elemento  $f \in \mathcal{M}(M)$  es reducible, o correctamente reducido. Si  $f$  es reducible, entonces  $f$  admite un sistema de reducción correcto.*

**Definición.** Sean  $f \in \mathcal{M}(M)$  y  $\alpha \in \mathcal{C}(M)$  una clase de reducción de  $f$ . Se dice que  $\alpha$  es una *clase de reducción esencial* si  $f^n(\beta) \neq \beta$  para todo  $n \in \mathbb{Z} \setminus \{0\}$  y todo  $\beta \in \mathcal{C}(M)$  tal que  $i(\alpha, \beta) \neq 0$ . Si  $f \in \mathcal{M}(M)$  es reducible, denotamos  $\mathcal{S}(f)$  el conjunto de las clases de reducción esenciales de  $f$ . Ponemos  $\mathcal{S}(f) = \emptyset$  sino.

**Teorema** (Birman, Lubotzky, McCarthy). *Suponemos que  $M$  es una superficie conexa y orientable. Sea  $f \in \mathcal{M}(M)$  un elemento reducible. Entonces  $\mathcal{S}(f)$  es un sistema de reducción correcto de  $f$ . Por otro lado, si  $\mathcal{A}$  es un sistema de reducción correcto de  $f$ , entonces  $\mathcal{S}(f) \subset \mathcal{A}$ . En otros términos,  $\mathcal{S}(f)$  es el sistema de reducción correcto mínimo de  $f$ .*

A partir de ahora  $N$  designa una superficie conexa no orientable.

**Proposición.** *Existe un único recubrimiento doble  $p : M \rightarrow N$  con  $M$  orientable.*

**Definición.** Sea  $J : M \rightarrow M$  el único elemento no trivial del deck grupo de  $p : M \rightarrow N$  y  $j \in \mathcal{M}(M)$  la clase de isotopía de  $J$ . Sea  $F \in \text{Homeo}(N)$ . Entonces  $F$  tiene dos levantamientos en  $M$ , uno que preserva la orientación, que denotaremos  $\tilde{F}$ , y uno que invierte la orientación,  $J \circ \tilde{F}$ . Estos dos elementos conmutan con  $J$ . Denotamos  $\mathcal{M}^+(M)$  el subgrupo de  $\mathcal{M}(M)$  formado por las clases de isotopía que preservan la orientación, y  $\mathcal{Z}_j^+(M)$  el subgrupo de  $\mathcal{M}^+(M)$  formado por los elementos que conmutan con  $j$ . La aplicación que a  $F \in \text{Homeo}(N)$  asocia  $\tilde{F}$  induce un homomorfismo  $\iota : \mathcal{M}(N) \rightarrow \mathcal{Z}_j^+(M)$ .

**Teorema** (Szepestowski).  $\iota : \mathcal{M}(N) \rightarrow \mathcal{Z}_j^+(M)$  es un isomorfismo.

**Definición.** Sean  $\alpha \in \mathcal{C}(N)$  y  $a \in \alpha$ . Si  $a$  es onesided, entonces  $p^{-1}(a)$  esta formado de un único círculo,  $\tilde{a}$ . Si  $a$  es twoside, entonces  $p^{-1}(a)$  esta formado por dos círculos,  $\tilde{a}_1$  y  $\tilde{a}_2$ . En el primer caso ponemos  $p^{-1}(\alpha) = \{[\tilde{a}]\}$  y en el segundo caso ponemos  $p^{-1}(\alpha) = \{[\tilde{a}_1], [\tilde{a}_2]\}$ . El conjunto  $p^{-1}(\alpha)$  esta bien definido. Si  $\mathcal{A}$  es una parte de  $\mathcal{C}(N)$ , ponemos  $p^{-1}(\mathcal{A}) = \cup_{\alpha \in \mathcal{A}} p^{-1}(\alpha)$ .

**Definición.** Sea  $\tilde{\mathcal{A}} \in \mathcal{C}(M)$  un simplex tal que  $j(\tilde{\mathcal{A}}) = \tilde{\mathcal{A}}$ . Entonces, para todo  $\tilde{\alpha} \in \tilde{\mathcal{A}}$ , tenemos o  $j(\tilde{\alpha}) = \tilde{\alpha}$ , o  $i(\tilde{\alpha}, j(\tilde{\alpha})) = 0$ . De esto sigue que el conjunto  $p(\tilde{\mathcal{A}}) = \{p(\tilde{\alpha}) \mid \tilde{\alpha} \in \tilde{\mathcal{A}}\}$  es un simplex de  $\mathcal{C}(N)$ .

**Teorema** (Wu Yingqing, Irmak - P.). *Sean  $f \in \mathcal{M}(N)$  y  $\mathcal{A}$  un simplex de  $\mathcal{C}(N)$ .*

- (1)  $\mathcal{A}$  es un sistema de reducción de  $f$  si y solamente si  $p^{-1}(\mathcal{A})$  es un sistema de reducción de  $\iota(f)$ .
- (2)  $\mathcal{A}$  es un sistema de reducción correcto de  $f$  si y solamente si  $p^{-1}(\mathcal{A})$  es un sistema de reducción correcto de  $\iota(f)$ .
- (3) Tenemos  $j(\mathcal{S}(\iota(f))) = \mathcal{S}(\iota(f))$  y  $p(\mathcal{S}(\iota(f))) = \mathcal{S}(f)$ .

- (4)  $\mathcal{S}(f)$  es el sistema de reducción correcto mínimo de  $f$ , en el sentido que contiene todos los sistemas de reducción correctos de  $f$ .

**Corolario.** Sea  $f \in \mathcal{M}(N)$ .

- (1)  $f$  es reducible si y solamente si  $\iota(f)$  es reducible,
- (2)  $f$  es de orden finito si y solamente si  $\iota(f)$  es de orden finito,
- (3)  $f$  es pseudo-Anosov si y solamente si  $\iota(f)$  es pseudo-Anosov.